

## ЦЕЛОЧИСЛЕННЫЕ КОСИНУСНЫЕ ПРЕОБРАЗОВАНИЯ ДЛЯ ВЫСОКОЭФФЕКТИВНОГО КОДИРОВАНИЯ ИЗОБРАЖЕНИЙ И ВИДЕО

**Аннотация.** Рассмотрены матричные методы построения однонормовых целочисленных косинусных преобразований порядков 8, 16. Предложены однонормовые целочисленные преобразования порядков 8, 16 и разработаны их быстрые алгоритмы низкой вычислительной сложности, которая меньше в 3–5 раз, чем в известных алгоритмах, и в 10 раз — чем в стандарте H.265.

**Ключевые слова:** дискретное косинусное преобразование, целочисленное косинусное преобразование, факторизация, быстрое преобразование, масштабированное преобразование, эффективность кодирования, коэффициент сжатия, вычислительная сложность, видеокодирование, H.264, H.265, HEVC, AVS.

### ВВЕДЕНИЕ

В последние десятилетия много публикаций было посвящено сжатию изображений и видеокодированию на основе преобразований. Эффективными инструментами компрессии для устранения избыточности в изображениях и видеосигналах являются методы сжатия результатов преобразования изображения, т.е. методы кодирования с преобразованием.

Для марковского процесса первого порядка оптимальным является преобразование Карунена–Лоева (ПКЛ). Наилучшим приближением к ПКЛ есть дискретное косинусное преобразование (ДКП). Характеристики ДКП приближаются к ПКЛ, когда коэффициент корреляции стремится к единице. В отличие от других подобных преобразований ДКП обеспечивает упаковку наибольшего количества информации в наименьшее число коэффициентов (для большинства реальных изображений), а также минимизирует эффект появления блочных структур, называемых блочными искажениями, когда на изображении становятся заметными границы между соседними блоками. Кроме того, ДКП обеспечивает линейность фазы, реальные коэффициенты и имеет быстрые алгоритмы. Кодирование на основе блоков с использованием ДКП порядка 8 является важной технологией видеокодирования, которое используется в стандартах H.261, H.263, JPEG, MPEG-2 и MPEG-4 visual. Более новые стандарты, такие как MPEG-4 AVC/H.264 [1], VC-1 [2] и AVS [3, 4], применяют целочисленное косинусное преобразование (ЦКП) порядков 4, 8 и 16. Это объясняется тем, что ЦКП выполняется вычислением без плавающей запятой. Его ядро содержит только целые и упаковывает энергию подобно ДКП. В настоящее время появился новый стандарт высокоэффективного видеокодирования High Efficiency Video Coding (HEVC или H.265) [5], где применены целочисленные преобразования размерами в пределах от 4 до 32, предложенные разработчиками фирм Cisco Systems и Texas Instruments [6]. Однако ЦКП, которые используются в стандарте H.265, не имеют быстрых алгоритмов, что приводит к большей вычислительной сложности. Было предложено ряд простых целочисленных преобразований порядка 16 с быстрыми алгоритмами низкой сложности [7–11].

В работах [12–14] предложена целочисленная аппроксимация ДКП с быстрыми алгоритмами меньшей сложности, чем в стандарте H.265 [6]. В [11] пред-

ложены простые ЦКП порядков 8 и 16 с быстрыми алгоритмами, которые, в отличие от известных [14, 13], имеют в 1,43 и 1,7 раза меньшую вычислительную сложность и в 2,9 раза — чем преобразование в стандарте H.265. Кроме того, было предложено несколько других эффективных способов уменьшения сложности кодера, таких как улучшенное intra-кодирование изображений (intrapicture) и упрощенные VLC коэффициенты [15].

В настоящей статье рассмотрены матричные методы построения однонормовых ЦКП порядков 8 и 16 с быстрыми целочисленными преобразованиями.

#### ОДНОНОРМОВОЕ ЦКП ПОРЯДКА 8

Рассмотрим метод построения однонормового ЦКП порядка 8, представленный в работе [16], а также матрицу  $ICT_8^*$  размера  $8 \times 8$  ЦКП с переставленными строками, которая получена из матрицы  $ICT_8$  перестановкой строк на основе двоично-инверсных перестановок (ДИП) и перестановок по коду Грея (ПКГ) [17]:

$$ICT_8^* = P_8' P_8 ICT_8, \quad (1)$$

где  $P_8$  — матрица  $8 \times 8$  ДИП,  $P_8'$  — блочно-диагональная матрица  $8 \times 8$ , содержащая матрицы  $4 \times 4$   $G_4$  ПКГ и  $P_4$  ДИП,  $P_8' = \text{diag}[G_4, P_4]$ ,  $G_4 = \text{diag}[I_2, \bar{I}_2]$ ,  $P_4 = \text{diag}[1, \bar{I}_2, 1]$ ,  $\bar{I}_2 = \begin{bmatrix} & 1 \\ 1 & \end{bmatrix}$ .

Матрица  $ICT_8^*$  размера  $8 \times 8$  ЦКП с переставленными строками может быть представлена матрицей ядра ЦКП:

$$ICT_8^* = B_8^* C_8^*, \quad (2)$$

где  $B_8^*$  — диагональная матрица  $8 \times 8$  коэффициентов нормирования,  $C_8^*$  — матрица  $8 \times 8$  ядра ЦКП с переставленными строками. Матрица  $C_8^*$  может быть представлена рекуррентно [11]:

$$C_8^* = \text{diag}[C_4^*, Q_4] H_8^*, \quad C_4^* = G_4 P_4 C_4, \quad (3)$$

где  $H_8^*$  — фактор-матрица  $8 \times 8$  с ненулевыми элементами  $\pm 1$ ,

$$H_8^* = \begin{bmatrix} I_4 & \bar{I}_4 \\ \bar{I}_4 & -I_4 \end{bmatrix}, \quad \bar{I}_4 = \text{antidiag}[I_4],$$

$I_4, \bar{I}_4$  — единичная и антидиагональная матрицы  $4 \times 4$ ;  $C_4^*$  — матрица  $4 \times 4$  ядра ЦКП с переставленными строками на основе ДИП и ПКГ;  $Q_4$  — матрица  $4 \times 4$ , которая может быть представлена матрицей ядра ЦКП-IV,

$$Q_4 = C_4^{IV} \bar{I}_4, \quad (4)$$

$C_4^{IV}$  — матрица ядра ЦКП-IV с целыми элементами  $\pm a, b, \pm c, d, e, \pm f, -g, \pm h$  и переставленными строками на основе ДИП. При этом

$$Q_4 = \begin{bmatrix} d & c & b & a \\ -h & -g & -f & e \\ e & f & -g & h \\ -a & b & -c & d \end{bmatrix}, \quad C_4^{IV} = \begin{bmatrix} a & b & c & d \\ e & -f & -g & -h \\ h & -g & f & e \\ d & -c & b & -a \end{bmatrix}, \quad \bar{I}_4 = \begin{bmatrix} & & & 1 \\ & & 1 & \\ & 1 & & \\ 1 & & & \end{bmatrix}, \quad (5)$$

$$C_8 = \begin{bmatrix} k & k & k & k & k & k & k & k \\ a & b & c & d & -d & -c & -b & -a \\ i & j & -j & -i & -i & -j & j & i \\ e & -f & -g & -h & h & g & f & -e \\ k & -k & -k & k & k & -k & -k & k \\ h & -g & f & e & -e & -f & g & -h \\ j & -i & i & -j & -j & i & -i & j \\ d & -c & b & -a & a & -b & c & -d \end{bmatrix}, \quad (6)$$

где  $a > b > c > d$ ,  $i > j$ ,  $g > e > h > f$ .

Имеют место соотношения

$$\begin{cases} a+d=e, \\ a-d=h, \end{cases} \begin{cases} b+c=g, \\ b-c=f, \end{cases} \begin{cases} a^2+d^2=b^2+c^2=\alpha, \\ e^2+h^2=f^2+g^2=2\alpha. \end{cases}$$

#### АЛГОРИТМ БЫСТРОГО ПРЯМОГО ЦКП ПОРЯДКА 8

Матрица  $Q_4$  может быть представлена произведением двух матриц:

$$Q_4 = H_4^0 T_4, \quad (7)$$

где  $H_4^0$  — блочно-диагональная фактор-матрица  $4 \times 4$  с элементами 1 и матрицей Адамара  $H_2$ ,

$$H_4^0 = \text{diag}[1, H_2, 1], \quad H_2 = \begin{bmatrix} 1 & 1 \\ 1 & -1 \end{bmatrix}; \quad (8)$$

$T_4$  — матрица  $4 \times 4$  с целыми элементами  $\pm a, \pm b, \pm c, d$ ,

$$T_4 = \begin{bmatrix} d & c & b & a \\ d & -c & -b & a \\ -a & -b & c & d \\ -a & b & -c & d \end{bmatrix}. \quad (9)$$

Матрица  $T_4$  может быть представлена как произведение двух матриц:

$$T_4 = H_4 R_4, \quad H_4 = \text{diag}[H_2, \bar{H}_2], \quad \bar{H}_2 = \begin{bmatrix} -1 & 1 \\ 1 & 1 \end{bmatrix}, \quad (10)$$

$H_4$  — блочно-диагональная фактор-матрица  $4 \times 4$ , содержащая матрицы  $H_2$  и  $\bar{H}_2$ ;  $R_4$  — фактор-матрица растягивания  $4 \times 4$ , которая содержит на основной диагонали целые элементы  $\pm c$  и  $d$ , а на другой диагонали — целые элементы  $\pm a$  и  $b$ . При этом

$$H_4 = \begin{bmatrix} 1 & 1 & & \\ 1 & -1 & & \\ & & -1 & 1 \\ & & 1 & 1 \end{bmatrix}, \quad R_4 = \begin{bmatrix} d & & & a \\ & c & b & \\ & b & -c & \\ -a & & & d \end{bmatrix}. \quad (11)$$

Тогда матрица  $Q_4$  на основании (7) и (10) может быть представлена произведением трех матриц:

$$Q_4 = H_4^0 H_4 R_4. \quad (12)$$

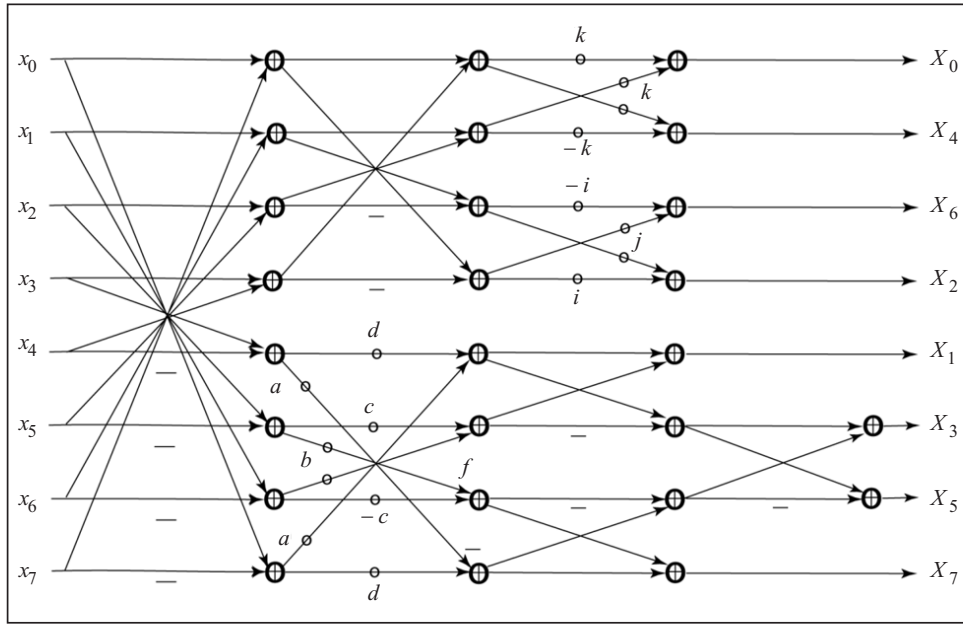


Рис. 1. Граф алгоритма предложенного 8-точечного быстрого прямого ЦКП

Матрица  $C_4^*$  ядра ЦКП порядка 4 может быть представлена как произведение двух матриц:

$$C_4^* = C_2 C_1, \quad (13)$$

где  $C_1, C_2$  — фактор-матрицы  $4 \times 4$  быстрого ЦКП порядка 4:

$$C_1 = H_4^*, \quad C_2 = \text{diag}[T_2, Q_2], \quad (14)$$

$$T_2 = \begin{bmatrix} k & k \\ k & -k \end{bmatrix}, \quad Q_2 = \begin{bmatrix} -i & j \\ j & i \end{bmatrix}, \quad H_4^* = \begin{bmatrix} I_2 & \bar{I}_2 \\ \bar{I}_2 & -I_2 \end{bmatrix}.$$

Матрица  $C_8^*$  на основании (3), (12) и с учетом алгоритма быстрого прямого ЦКП порядка 4 согласно (13) может быть факторизовано представлена как произведение четырех матриц:

$$C_8^* = C_{8,4} C_{8,3} C_{8,2} C_{8,1}, \quad (15)$$

где  $C_{8,i}$  —  $i$ -е,  $i = \overline{1, 4}$ , фактор-матрицы  $8 \times 8$  алгоритма предложенного быстрого прямого ЦКП:

$$\begin{aligned} C_{8,1} &= H_8^*, \quad C_{8,2} = \text{diag}[H_4^*, R_4], \\ C_{8,3} &= \text{diag}[T_2, Q_2, H_4], \\ C_{8,4} &= \text{diag}[I_4, H_4^0]. \end{aligned} \quad (16)$$

Для однонормового ЦКП матрица  $H_4^0$  содержит ненулевые элементы 1 и  $\pm p/2^m$ .

На рис. 1 представлен граф алгоритма согласно (15), (16) предложенного 8-точечного быстрого прямого ЦКП.

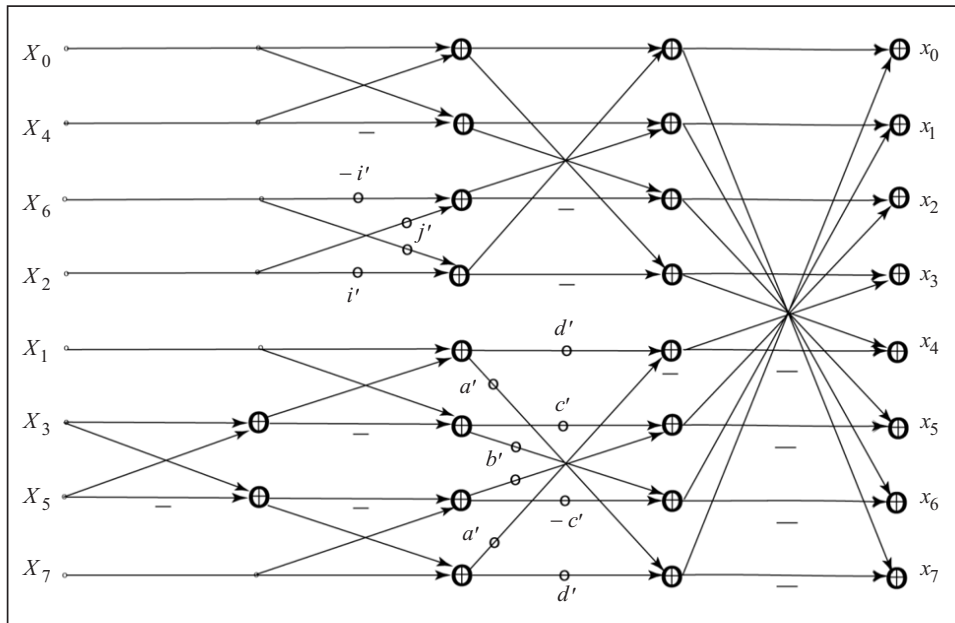


Рис. 2. Граф алгоритма предложенного 8-точечного быстрого обратного ЦКП

#### АЛГОРИТМ БЫСТРОГО ОБРАТНОГО ЦКП ПОРЯДКА 8

Матрицу обратного преобразования ЦКП  $C_{8i}$  порядка 8 можно получить транспонированием:

$$C_{8i} = C_8^{*T} / k. \quad (17)$$

Матрица  $C_{8i}$  на основании (17), (15) и с учетом симметричности фактор-матриц ( $H_8^{*T} = H_8^*$ ,  $H_4^{*T} = H_4^*$ ,  $H_4^T = H_4$ ,  $H_4^{0T} = H_4^0$ ) может быть факторизовано представлена как произведение четырех матриц:

$$C_{8i} = C_{8i,1} C_{8i,2}^T C_{8i,3} C_{8i,4}, \quad (18)$$

где  $C_{8i,k}$  —  $k$ -е,  $k = \overline{1, 4}$ , фактор-матрицы  $8 \times 8$  алгоритма предложенного быстрого обратного ЦКП:

$$C_{8i,1} = H_8^*, C_{8i,2}^T = \text{diag}[H_4^*, R_{4i}^T], C_{8i,3} = \text{diag}[T_{2i}, Q_{2i}, H_4], \quad (19)$$

$$C_{8i,4} = \text{diag}[I_4, H_4^0], T_{2i} = T_2 / k = H_2, Q_{2i} = Q_2 / k,$$

$$R_{4i}^T = \begin{bmatrix} d & & -a \\ & c & b \\ & b & -c \\ a & & d \end{bmatrix} / k.$$

На рис. 2 представлен граф алгоритма согласно (18), (19) предложенного 8-точечного быстрого обратного ЦКП. При этом  $(a', b', c', d') = (a, b, c, d) / k$ ,  $(i', j') = (i, j) / k$ .

Элементы матрицы  $C_8$  однонормового масштабированного ЦКП принимают следующие значения:  $a = 45$ ,  $b = 38$ ,  $c = 24$ ,  $d = 9$ ,  $e = 38$ ,  $f = 9$ ,  $g = 44$ ,  $h = 25$ ,  $i = 43$ ,  $j = 14$ ,  $k = 32$ .

Матрица  $C_8$  предложенного однонормового масштабированного ЦКП имеет вид

$$C_8 = \begin{bmatrix} 32 & 32 & 32 & 32 & 32 & 32 & 32 & 32 \\ 45 & 38 & 24 & 9 & -9 & -24 & -38 & -45 \\ 43 & 14 & -14 & -43 & -43 & -14 & 14 & 43 \\ 38 & -9 & -44 & -25 & 25 & 44 & 9 & -38 \\ 32 & -32 & -32 & 32 & 32 & -32 & -32 & 32 \\ 25 & -44 & 9 & 38 & -38 & -9 & 44 & -25 \\ 14 & -43 & 43 & -14 & -14 & 43 & -43 & 14 \\ 9 & -24 & 38 & -45 & 45 & -38 & 24 & -9 \end{bmatrix}. \quad (20)$$

Следует отметить, что квадраты норм базисных векторов матрицы  $C_8$  однонормового масштабированного ЦКП приближаются к числу степени два:

$$q_i = \|C_i\|^2 = 8192 \pm \Delta_i (\%), \quad i = 1, 2, 3, \quad \Delta_i = 0,15 - 0,7 \%,$$

неортогональность составляет 0,2–2 %.

#### РЕАЛИЗАЦИЯ БЕЗ МНОЖИТЕЛЕЙ

Предложенное целочисленное преобразование может быть реализовано, используя в основном операции сдвига и сложения. Парные умножения применяются в операциях «бабочка» (butterfly) и выполняются путем сдвигов и сложений, а в некоторых случаях (с целью уменьшения вычислительной сложности) — путем умножения и сдвига. В табл. 1 представлена схема выполнения специальных парных умножений, используемых в операциях «бабочка» для реализации предложенного 1D 8-точечного однонормового целочисленного обратного преобразования.

Для реализации предложенного 1D 8-точечного однонормового целочисленного обратного преобразования требуется выполнить две операции умножения, 40 операций сложения и 16 операций сдвига.

Вычислительная сложность предложенного, известных [13, 14] и принятого в стандарте H.265 [5, 6] 2D 8-точечных целочисленных обратных преобразований приведена в табл. 2

**Таблица 1**

Значения множителей		Алгоритм выполнения операций $y = d * x;$ $z = a * x$	Вычислительная сложность операций			Количество используемых операций
			Сложение	Сдвиг	Умножение	
$d = 9 / 32$	$a = 45 / 32$	$x_1 = x + (x \gg 3);$ $y = x_1 \gg 2; z = x_1 + y$	2	2	—	2
$c = 24 / 32$	$b = 38 / 32$	$y = x - (x \gg 2);$ $z = x + (y \gg 2)$	2	2	—	2
$i = 43 / 32$	$j = 14 / 32$	$x_1 = x - (x \gg 3); z = x_1 \gg 1;$ $x_2 = x + x_1;$ $y = x_1 + (x_2 \gg 2)$	3	3	—	2
$p / 2^m$	0	$x_1 = p * x; y = x_1 \gg m;$ $z = 0$	—	1	1	2
Всего		—	14	16	2	

**Таблица 2**

Характеристика вычислительной сложности	Оценка сложности 2D преобразований 8 × 8					
	Предложенного	Н.265 [5, 6]	Из [13]	Из [14]	Уменьшение относительно	
					[14]	[5, 6]
Умножение	32	352	192	176	В 5,5 раза	В 11 раз
Сложение + сдвиг	640 + 256	448 + 128	416	464	На 93 % больше сложенных	На 55,5 % больше сложенных
Число итераций для 1D	4	3	4	4	0	На одну итерацию больше
Память для квантования	—	—	+	—	—	—
Число битов элемента матрицы	7	8	7	14	На 7 бит меньше	На 1 бит меньше

**ОДНОНОРМОВОЕ ЦКП ПОРЯДКА 16**

Изложим метод построения однонормового ЦКП порядка 16, который представлен в работе [16]. Рассмотрим  $ICT_{16}^*$  — матрицу 16×16 ЦКП порядка 16 с переставленными строками, которая получена из матрицы  $ICT_{16}$  путем перестановок строк на основе ДИП, обратных перестановок и ПКГ:

$$ICT_{16}^* = G'_{16} \bar{P}_{16} P_{16} ICT_{16}, \tag{21}$$

где  $P_{16}$  — матрица 16×16 ДИП,  $\bar{P}_{16}$  — блочно-диагональная матрица 16×16 с единичной матрицей 12×12  $I_{12}$  и антидиагональной матрицей 4×4  $\bar{I}_4$ ,  $\bar{P}_{16} = \text{diag}[I_{12}, \bar{I}_4]$ ;  $G'_{16}$  — блочно-диагональная матрица 16×16 с матрицами 4×4  $G_4$  и  $P_4$ ,  $G'_{16} = \text{diag}[G_4, P_4, G_4, G_4]$ .

Матрица  $ICT_{16}^*$  размера 16×16 ЦКП с переставленными строками может быть представлена матрицей ядра ЦКП:

$$ICT_{16}^* = B_{16}^* C_{16}^*, \tag{22}$$

где  $B_{16}^*$  — диагональная матрица 16×16 коэффициентов нормирования;  $C_{16}^*$  — матрица 16×16 ядра ЦКП с переставленными строками.

Матрица  $C_{16}^*$  может быть представлена рекуррентно [16]:

$$C_{16}^* = \text{diag}[C_8^*, Q_8] H_{16}^*, \tag{23}$$

где  $H_{16}^*$  — фактор-матрица 16×16 с ненулевыми элементами ±1 (аналогична матрице  $H_8^*$  (см. (3));  $Q_8$  — матрица 8×8, которая может быть представлена матрицей ядра ЦКП-IV:

$$Q_8 = C_8^{IV*} \bar{I}_8. \tag{24}$$

Здесь  $I_8, \bar{I}_8$  — единичная и антидиагональная единичная матрицы 8×8,  $\bar{I}_8 = \text{antidiag}[I_8]$ ;  $C_8^{IV*}$  — матрица 8×8 ядра ЦКП-IV с переставленными строками,  $C_8^{IV*} = G'_8 \bar{P}_8 P_8 C_8^{IV}$ , где  $\bar{P}_8$  — блочно-диагональная матрица 8×8 с единичными матрицами 4×4  $I_4$  и  $\bar{I}_4$ ,  $\bar{P}_8 = \text{diag}[I_4, \bar{I}_4]$ ;  $G'_8$  — блочно-диагональная матрица 8×8 с матрицами 4×4  $G_4$ ,  $G'_8 = \text{diag}[G_4, G_4]$ .

Матрица  $C_8^{IV*}$  имеет вид

$$C_8^{IV*} = \begin{bmatrix} A & B & C & D & E & F & G & H & 0 \\ C_8 & -C_7 & -C_6 & C_5 & -C_4 & -C_3 & C_2 & C_1 & 4 \\ A_8 & -A_7 & A_6 & -A_5 & A_4 & A_3 & -A_2 & A_1 & 6 \\ B_1 & B_2 & -B_3 & -B_4 & -B_5 & B_6 & B_7 & B_8 & 2 \\ H & -G & F & -F & D & -C & B & -A & 7 \\ C_1 & -C_2 & -C_3 & C_4 & C_5 & C_6 & -C_7 & -C_8 & 3 \\ A_1 & A_2 & A_3 & -A_4 & -A_5 & -A_6 & -A_7 & -A_8 & 1 \\ B_8 & -B_7 & B_6 & B_5 & -B_4 & B_3 & B_2 & -B_1 & 5 \end{bmatrix}, \quad (25)$$

где  $A > B > C > D > E > F > G > H$ .

Матрица  $C_8^{IV*}$  может быть представлена через матрицу ядра ЦКП порядка 4 как произведение трех матриц [16]:

$$C_8^{IV*} = H_8^0 \text{diag}[T_4^*, T_4^*] R_8, \quad (26)$$

где  $R_8$  — матрица  $8 \times 8$  растягивания, которая на основной диагонали содержит целые элементы  $\pm r_i$  ( $i = \overline{1, 4}$ ), а на другой диагонали целые элементы  $\pm s_i$  и которая для ДКП-IV представляет матрицу вращения Гивенса;  $H_8^0$  — фактор-матрица  $8 \times 8$  с ненулевыми элементами  $\pm 1$ ;  $T_4^*$  — матрица  $4 \times 4$  ядра ЦКП с переставленными строками на основе ДИП и ПКГ,  $T_4^* = G_4 P_4 T_4$ . При этом

$$R_8 = \begin{bmatrix} r_1 & & & & & & & & s_1 \\ & r_2 & & & & & & & s_2 \\ & & r_3 & & & & & & s_3 \\ & & & r_4 & s_4 & & & & \\ & & & -s_4 & r_4 & & & & \\ & & & & & & & & \\ & & & s_3 & & & -r_3 & & \\ & & & -s_2 & & & & r_2 & \\ s_1 & & & & & & & & -r_1 \end{bmatrix}, \quad H_8^0 = \begin{bmatrix} 1 & & & 0 \\ & 1 & & -1 \\ & & 1 & 0 & 1 \\ & & & 1 & 1 & 0 \\ 0 & & & & 1 & & & & \\ & 1 & & & & 1 & & & \\ & & 0 & 1 & & & -1 & & \\ & & & & 1 & 0 & & & -1 \end{bmatrix},$$

где  $r_i > r_{i+1}$ ,  $s_i < s_{i+1}$ ,  $i = \overline{1, 4}$ ,

$$T_4^* = \begin{bmatrix} p & p & p & p \\ p & -p & -p & p \\ s & -r & r & -s \\ r & s & -s & -r \end{bmatrix}, \quad r > s, \quad p = 2^n. \quad (27)$$

Для однонормового ЦКП фактор-матрица  $H_8^0$  содержит ненулевые элементы 1 и  $\pm p_i / 2^{m_i}$ ,  $i = 1, 2, 3$ .

Матрица  $Q_8$  на основании (24) и (26) может быть представлена как произведение четырех матриц:

$$Q_8 = H_8^0 \text{diag}[T_4^*, T_4^*] R_8 \bar{I}_8 \quad (28)$$

или (с учетом произведения двух матриц  $R_8 \bar{I}_8 = \bar{R}_8$ ) как произведение трех матриц:

$$Q_8 = H_8^0 \text{diag}[T_4^*, T_4^*] \bar{R}_8, \quad (29)$$



$$\bar{R}_8 = \begin{bmatrix} s_1 & & & & & & & r_1 \\ & s_2 & & & & & & r_2 \\ & & s_3 & & & & & r_3 \\ & & & s_4 & r_4 & & & \\ & & & r_4 & -s_4 & & & \\ & & -r_3 & & & s_3 & & \\ & r_2 & & & & & -s_2 & \\ -r_1 & & & & & & & s_1 \end{bmatrix}. \quad (30)$$

Матрица  $C_{16}$  ядра ЦКП порядка 16 на основании (23)–(25) и с учетом (6) может быть представлена как

$$C_{16} = \begin{bmatrix} k & k & k & k & k & k & k & k & k & \dots & k \\ A & B & C & D & E & F & G & H & -H & \dots & -A \\ a & b & c & d & -d & -c & -b & -a & -a & \dots & a \\ A_1 & A_2 & A_3 & -A_4 & -A_5 & -A_6 & -A_7 & -A_8 & A_8 & \dots & -A_1 \\ i & j & -j & -i & -i & -j & j & i & i & \dots & i \\ B_1 & B_2 & -B_3 & -B_4 & -B_5 & B_6 & B_7 & B_8 & -B_8 & \dots & -B_1 \\ e & -f & -g & -h & h & g & f & -e & -e & \dots & e \\ C_1 & -C_2 & -C_3 & C_4 & C_5 & C_6 & -C_7 & -C_8 & C_8 & \dots & -C_1 \\ k & -k & -k & k & k & -k & -k & k & k & \dots & k \\ C_8 & -C_7 & -C_6 & C_5 & -C_4 & -C_3 & C_2 & C_1 & -C_1 & \dots & -C_8 \\ h & -g & f & e & -e & -f & g & -h & -h & \dots & h \\ B_8 & -B_7 & B_6 & B_5 & -B_4 & B_3 & B_2 & -B_1 & B_1 & \dots & -B_8 \\ j & -i & i & -j & -j & i & -i & j & j & \dots & j \\ A_8 & -A_7 & A_6 & -A_5 & A_4 & A_3 & -A_2 & A_1 & -A_1 & \dots & -A_8 \\ d & -c & b & -a & a & -b & c & -d & -d & \dots & d \\ H & -G & F & -E & D & -C & B & -A & A & \dots & -H \end{bmatrix}. \quad (31)$$

Элементы  $r_i, s_i$  матрицы  $R_8$  принимают следующие значения:  $r_1 = 45, r_2 = 43, r_3 = 40, r_4 = 35, s_1 = 5, s_2 = 14, s_3 = 21, s_4 = 29$ . Элементы матрицы  $T_4^*$  принимают значения:  $r = 5, s = 2, p = 4$ .

Элементы матрицы  $C_{16}$  согласно (31) предложенного однонормового масштабированного ЦКП принимают значения:  $A = 180, B = 172, C = 160, D = 140, E = 116, F = 84, G = 56, H = 20, a = 180, b = 152, c = 96, d = 36, e = 152, f = 36, g = 176, h = 100, i = 172, j = 56, k = 128$ . Значения элементов  $A_i, B_i, C_i$  ( $i = 1, 8$ ) представлены в табл. 3.

**Таблица 3**

Элементы	Значение элементов матрицы $C_{16}$ при $i$							
	1	2	3	4	5	6	7	8
$A_i$	174	116	18	87	159	180	139	48
$B_i$	160	11	138	173	55	117	181	85
$C_i$	141	82	172	16	181	53	161	113

Следует отметить, что квадраты норм базисных векторов в матрице  $C_{16}$  ортонормованного масштабированного ЦКП приближаются к числу степени два:  $q_i = \|C_i\|^2 = 131072 \pm \Delta_i$  (%),  $i = 1, 3, 5, 7$ ,  $\Delta_i = 0,11 - 0,28$  %, неортогональность составляет  $0,01 - 0,26$  %.

Таким образом, предложенные ЦКП имеют такие же свойства, как и принятые в стандарте H.265: 8 бит представления коэффициентов преобразования; ширина накопительного сумматора для матричного умножения не превышает 32 бит; симметричность/антисимметричность соответствует ДКП; коэффициенты масштабированного преобразования являются близкими к ДКП; базисные векторы почти ортогональны; одинаковая схема квантования и деквантования для преобразований всех размерностей, где множители зависят от значений параметра квантования  $QP$  [18] и сдвиги зависят только от  $\log_2 N$ , где  $N$  — размерность преобразования; коэффициенты квантования могут быть представлены 16 битами.

#### АЛГОРИТМ БЫСТРОГО ПРЯМОГО ЦКП ПОРЯДКА 16

Матрица  $T_4^*$  может быть представлена как произведение двух матриц:

$$T_4^* = T_{4,2} T_{4,1}, \quad (32)$$

где  $T_{4,i}$  —  $i$ -е,  $i = 1, 2$ , фактор-матрицы  $4 \times 4$ :

$$T_{4,1} = H_4^*, \quad T_{4,2} = \text{diag}[T_2', R_2], \quad T_2' = \begin{bmatrix} p & p \\ p & -p \end{bmatrix}, \quad R_2 = \begin{bmatrix} -r & s \\ s & r \end{bmatrix},$$

$T_2'$  — матрица  $2 \times 2$ , которая содержит целые  $\pm p$ ;  $R_2$  — матрица растягивания  $2 \times 2$ , которая содержит целые элементы  $\pm r, s$ .

Матрица  $C_{16}^*$  на основании (23), (29), (32) и с учетом алгоритма быстрого прямого ЦКП порядка 8 согласно (15) может быть факторизовано представлена как произведение пяти матриц:

$$C_{16}^* = C_{16,5} C_{16,4} C_{16,3} C_{16,2} C_{16,1}, \quad (33)$$

где  $C_{16,i}$  —  $i$ -е,  $i = \overline{1, 5}$ , фактор-матрицы  $16 \times 16$  алгоритма предложенного в [16] быстрого прямого ЦКП:

$$C_{16,1} = H_{16}^*, \quad C_{16,2} = \text{diag}[H_8^*, \overline{R_8}], \quad C_{16,3} = \text{diag}[H_4^*, R_4, H_4^*, H_4^*], \quad (34)$$

$$C_{16,4} = \text{diag}[T_2, Q_2, H_4, T_2', R_2, T_2', R_2], \quad C_{16,5} = \text{diag}[I_4, H_4^0, H_8^0].$$

#### АЛГОРИТМ БЫСТРОГО ОБРАТНОГО ЦКП ПОРЯДКА 16

Матрицу ядра обратного ЦКП  $C_{16i}$  порядка 16 можно получить транспонированием:

$$C_{16i} = C_{16i}^{*T} / k. \quad (35)$$

Матрица  $C_{16i}$  на основании (35), (34) и с учетом симметричности фактор-матриц ( $H_{16}^{T*} = H_{16}^*$ ,  $T_2^{T'} = T_2'$ ,  $R_2^T = R_2$ ) может быть факторизовано представлена как произведение пяти матриц:

$$C_{16i}^* = C_{16i,1} C_{16i,2}^T C_{16i,3}^T C_{16i,4} C_{16i,5}^T, \quad (36)$$

где  $C_{16i,k}^T$  —  $k$ -е,  $k = \overline{1,5}$ , транспонированные фактор-матрицы  $16 \times 16$  алгоритма предложенного быстрого обратного ЦКП:

$$C_{16i,1} = H_{16}^*; C_{16i,2}^T = \text{diag} [H_8^*, \bar{R}_{8i}^T], \bar{R}_{8i}^T = \bar{R}_8^T / k', k' = k / p; \quad (37)$$

$$C_{16i,3}^T = \text{diag} [H_4^*, R_{4i}^T, H_4^*, H_4^*];$$

$$C_{16i,4} = \text{diag} [T_{2i}, Q_{2i}, H_4^0, T'_{2i}, R_{2i}, T'_{2i}, R_{2i}],$$

$$T'_{2i} = T'_2 / p = H_2, R_{2i} = R_2 / p, C_{16i,5}^T = \text{diag} [I_4, H_4^0, H_8^{0T}].$$

Матрицы  $\bar{R}_{8i}^T$  и  $H_8^{0T}$  имеют вид:

$$\bar{R}_{8i}^T = \begin{bmatrix} s_1 & & & & & & & -r_1 \\ & s_2 & & & & & & r_2 \\ & & s_3 & & & & & -r_3 \\ & & & s_4 & r_4 & & & \\ & & & r_4 & -s_4 & & & \\ & & & & & s_3 & & \\ & & & r_3 & & & s_3 & \\ & & & & & & & -s_2 \\ r_1 & & & & & & & s_1 \end{bmatrix} / k', H_8^{0T} = \begin{bmatrix} 1 & & & & & & & 0 \\ & 1 & & & & & & 1 \\ & & 1 & & & & & 0 \\ & & & 1 & & & & 1 \\ 0 & & & & 1 & & & \\ & & & & & -1 & & 1 \\ & & & & & & 0 & 1 \\ & & & & & & & & -1 \\ & & & & & & & & & 1 & 0 \\ & & & & & & & & & & & -1 \end{bmatrix}.$$

В табл. 4 представлена схема выполнения специальных парных умножений, используемых в операциях «бабочка» для реализации предложенного 1D 16-точечного однонормового целочисленного обратного преобразования.

Для реализации предложенного 1D 16-точечного однонормового целочисленного обратного преобразования требуется выполнить 8 операций умножения, 106 операций сложения и 50 операций сдвига. Вычислительная сложность предложенного, известных и принятого в стандарте H.265 [5, 6] 2D 16-точечных целочисленных обратных преобразований приведена в табл. 5.

**Таблица 4**

Значения множителей		Алгоритм выполнения операций $y = s_i * x;$ $z = r_i * x$	Вычислительная сложность операций			Количество используемых операций
			Сложение	Сдвиг	Умножение	
$s_1 = 5 / 32$	$r_1 = 45 / 32$	$x_1 = x \gg 2; x_2 = x + x_1;$ $y = x_2 \gg 3; z = x_1 + y$	2	2	—	2
$s_2 = 14 / 32$	$r_2 = 43 / 32$	$x_1 = x - (x \gg 3); y = x_1 \gg 1;$ $x_2 = x + x_1; z = x_1 + (x_2 \gg 2)$	3	3	—	2
$s_3 = 21 / 32$	$r_3 = 40 / 32$	$x_1 = x \gg 2; z = x + x_1;$ $x_2 = z \gg 3; y = x_2 + (x \gg 1)$	2	3	—	2
$s_4 = 29 / 32$	$r_4 = 35 / 32$	$x_1 = x - (x \gg 2);$ $y = x - (x_1 \gg 3);$ $z = x + (x_1 \gg 3)$	3	2	—	2
$r = 5 / 4$	$s = 2 / 4$	$z = x \gg 1; y = x + (x \gg 2)$	1	2	—	4
$p_{1i} = p_1 / 2^{m_1}$	0	$x_1 = p_1 * x; y = x_1 \gg m_1;$ $z = 0$	—	1	1	2
$p_{2i} = p_2 / 2^{m_2}$	0	$x_1 = p_2 * x; y = x_1 \gg m_2;$ $z = 0$	—	1	1	2
$p_{3i} = p_3 / 2^{m_3}$	0	$x_1 = p_3 * x; y = x_1 \gg m_3;$ $z = 0$	—	1	1	2
Всего			24	34	6	

**Таблица 5**

Характеристика вычислительной сложности	Оценка сложности 2D преобразований 16×16					
	Предложенного	H.265 [5, 6]	Из [13]	Из [14]	Уменьшение относительно [14]	относительно [5, 6]
Умножение	256	2752	1152	992	В 3,88 раза	В 10,75 раза
Сложение + сдвиг	3392 + 1600	3200 + 512	2304	2592	На 92,6 % больше сложенных	На 34,5 % больше сложенных
Число итераций для 1D	5	4	5	6	На 1 итерацию меньше	На одну итерацию больше
Память для квантования	—	—	+	—	—	—
Число битов элемента матрицы	9	8	10	14	На 5 бит меньше	На 1 бит больше

**ЭКСПЕРИМЕНТАЛЬНЫЕ РЕЗУЛЬТАТЫ И ИХ АНАЛИЗ**

Экспериментальные результаты эффективности кодирования по характеристике стандартной количественной оценки искажений PSNR (дБ) для сжатых тестовых изображений класса А (HD) (фото, Собор и пейзаж 1) с разрешающей способностью 1920×1072 пикселей и класса С (фото и пейзаж 2) — 1280×720 пикселей при нормальном (22–37) диапазоне *QP* и высоком (36, 42) диапазоне *QP* для предложенных 2D преобразований по сравнению с преобразованиями H.265 с блоками 8×8 приведены в табл. 6, а с блоками 16×16 — в табл. 7. Результаты эффективности кодирования по критерию оценки среднеквадратического отклонения (СКО, в уровнях яркости) разности входного и восстановленного тестовых изображений в уровнях яркости для предложенных 2D преобразований по сравнению с H.265 с блоками 8×8 приведены в табл. 6, а с блоками 16×16 — в табл. 7.

Экспериментальные результаты тестирования по характеристике коэффициента сжатия *K*:1 для двух предложенных 2D преобразований с блоками 8×8 (16×16) приведены в табл. 8. Результаты эффективности кодирования по характеристике коэффициента сжатия *K* (в процентах) для предложенных преобразований по сравнению с преобразованиями H.265 с блоками 8×8 (16×16) приведены в табл. 9. Также даны средние значения экспериментальных результатов эффективности кодирования по

**Таблица 6**

Класс	Изображение с блоками 8×8	Результаты эффективности кодирования по характеристике PSNR, дБ (СКО, в уровнях яркости) для <i>QP</i>				
		22	27	32	37	42
А 1920×1072	Фото	-0,095 (0,05)	-0,017 (-0,024)	-0,015 (-0,038)	-0,016 (-0,06)	-0,01 (-0,063)
	Собор	-0,368 (-0,111)	-0,146 (-0,093)	-0,078 (-0,106)	-0,065 (-0,181)	-0,05 (-0,283)
	Пейзаж 1	-0,264 (-0,19)	-0,062 (-0,139)	-0,039 (-0,201)	-0,034 (-0,326)	-0,024 (-0,416)
С 1280×720	Фото	-0,104 (-0,056)	-0,02 (-0,027)	-0,018 (-0,043)	-0,021 (-0,086)	-0,012 (-0,084)
	Пейзаж 2	-0,189 (-0,194)	-0,047 (-0,14)	-0,037 (-0,264)	-0,034 (-0,578)	-0,022 (-0,741)
Среднее значение		-0,204 (-0,100)	-0,058 (-0,085)	-0,037 (-0,130)	-0,034 (-0,246)	-0,024 (-0,317)

Таблица 7

Класс	Изображение с блоками 16 × 16	Результаты эффективности кодирования по характеристике PSNR, дБ (СКО, в уровнях яркости) для QP				
		22	27	32	37	42
А 1920 × 1072	Фото	-0,016 (-0,011)	-0,009 (-0,013)	-0,004 (-0,009)	-0,002 (-0,008)	-0,009 (-0,044)
	Собор	-0,098 (-0,036)	-0,045 (-0,033)	-0,033 (-0,043)	-0,016 (-0,045)	-0,01 (-0,055)
	Пейзаж 1	-0,056 (-0,064)	-0,026 (-0,068)	-0,013 (-0,069)	-0,008 (-0,077)	-0,005 (-0,077)
С 1280 × 720	Фото	-0,022 (-0,015)	-0,008 (-0,011)	-0,003 (-0,008)	-0,005 (-0,016)	-0,009 (0)
	Пейзаж 2	-0,084 (-0,094)	-0,034 (-0,096)	-0,018 (-0,122)	-0,009 (-0,15)	-0,004 (-0,118)
Среднее значение		-0,055 (-0,044)	-0,024 (-0,044)	-0,014 (-0,050)	-0,008 (-0,059)	-0,007 (-0,059)

Таблица 8

Класс	Изображение с блоками 8 × 8 (16 × 16)	Коэффициент сжатия K:1 для QP				
		22	27	32	37	42
А 1920 × 1072	Фото	5,62 (6,07)	10,78 (13,87)	23,11 (31,60)	39,95 (66,14)	54,67 (122,70)
	Собор	10,45 (10,79)	14,67 (16,95)	21,98 (26,23)	32,99 (44,42)	47,08 (76,51)
	Пейзаж 1	2,87 (2,62)	4,11 (4,83)	8,05 (9,29)	16,27 (19,31)	29,11 (40,49)
С 1280 × 720	Фото	5,78 (6,29)	10,17 (13,49)	20,56 (27,54)	36,70 (57,97)	52,30 (109,89)
	Пейзаж 2	1,91 (2,00)	2,69 (2,73)	3,98 (4,22)	7,62 (8,31)	16,39 (19,20)
Среднее значение		5,326 (5,55)	8,484 (10,37)	15,536 (19,78)	26,706 (39,23)	39,910 (73,76)

Таблица 9

Класс	Изображение с блоками 8 × 8 (16 × 16)	Результаты эффективности кодирования по характеристике коэффициента сжатия K (в %) для QP				
		22	27	32	37	42
А 1920 × 1072	Фото	-0,032 (-0,032)	-0,016 (-0,016)	-0,006 (-0,006)	-0,001 (-0,001)	0 (0)
	Собор	-0,062 (-0,022)	0,037 (-0,013)	-0,038 (-0,007)	-0,012 (-0,003)	-0,002 (-0,002)
	Пейзаж 1	-0,056 (-0,056)	-0,04 (-0,04)	-0,015 (-0,015)	-0,005 (-0,005)	-0,003 (-0,003)
С 1280 × 720	Фото	-0,018 (-0,018)	-0,015 (-0,015)	-0,006 (-0,006)	-0,002 (-0,002)	0 (0)
	Пейзаж 2	-0,049 (-0,049)	-0,04 (-0,04)	-0,023 (-0,023)	-0,012 (-0,012)	-0,002 (-0,002)
Среднее значение (в %)		-0,058 (-0,035)	-0,034 (-0,025)	-0,007 (-0,011)	-0,013 (-0,005)	-0,004 (-0,001)

характеристикам PSNR, СКО и коэффициенту сжатия  $K$  по пяти тестовым изображениям классов А и С с блоками 8 × 8 (16 × 16).

Предложенное целочисленное преобразование порядка 8 по сравнению с преобразованием в стандарте H.265 по характеристике PSNR для пяти тестовых изображений классов А и С понижает среднее значение на 0,204–0,024 дБ, при этом среднее значение коэффициента сжатия  $K$  уменьшается на 0,058–0,004%.

Для предложенного целочисленного преобразования порядка 16 среднее значение по характеристике PSNR понижается на 0,055–0,007 дБ, а среднее значение коэффициента сжатия  $K$  уменьшается на 0,035–0,001%.

Следует заметить, что высококоррелированные (ВК) изображения класса А с блоками  $8 \times 8$ , такие как фото и Собор, имеют в 1,9–3,6 раза больший коэффициент сжатия для заданного параметра  $QP$ , чем низкокоррелированное (НК) изображение того же класса пейзаж 1, а ВК изображение класса С фото имеет в 3–5 раз больший коэффициент сжатия для заданного параметра  $QP$ , чем НК изображе-

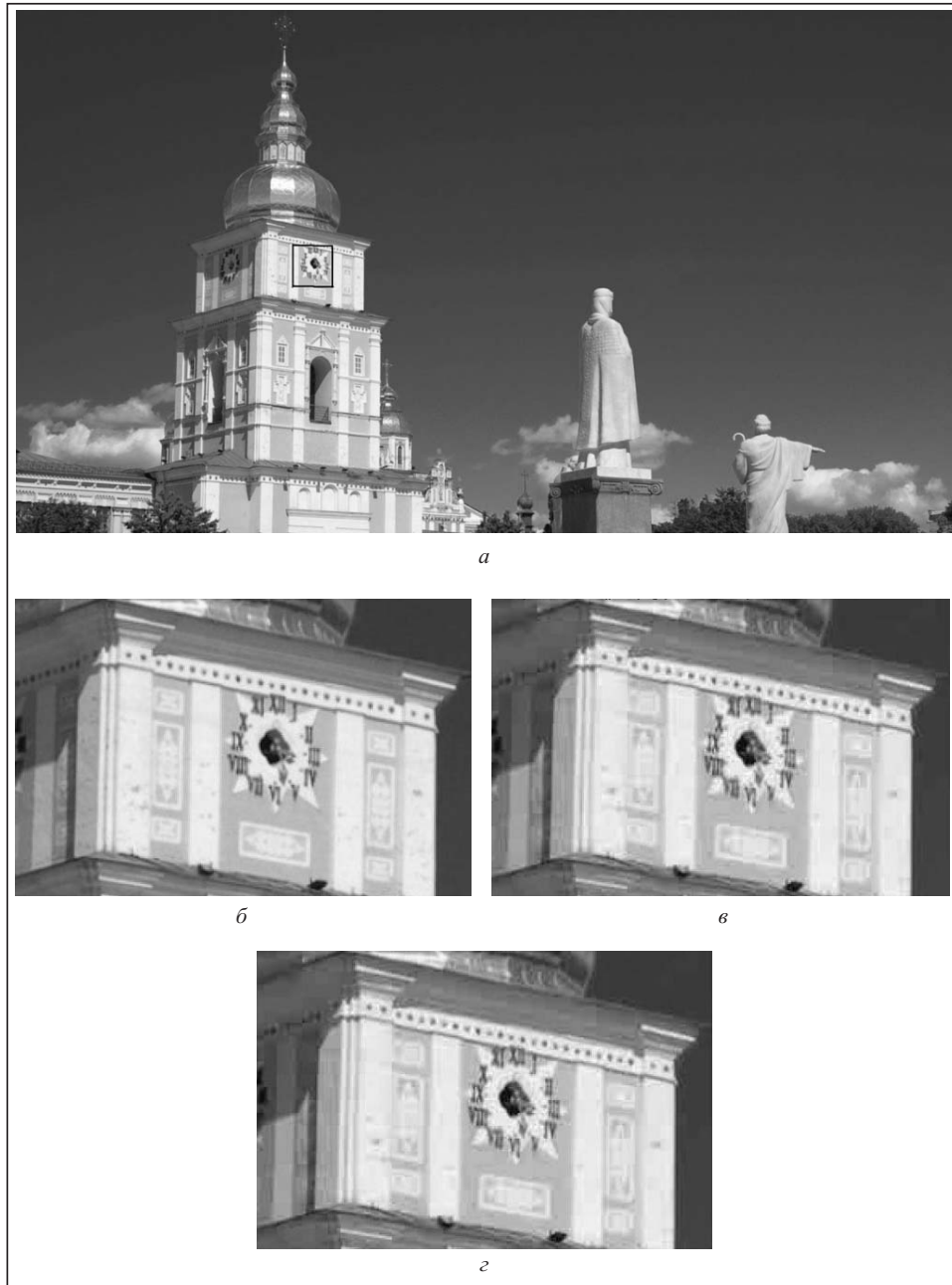


Рис. 3. Исходное изображение Собора размера  $1920 \times 1072$  с фрагментом часов (а); увеличенное исходное изображение часов, масштаб 2:1 (б); на основе кодирования с блоками  $8 \times 8$  предложенным ЦКП при сжатии 33:1, PSNR = 37,210 дБ (в); с применением ЦКП (H.265) при сжатии 33:1, PSNR = 37,275 дБ (г)

ние того же класса пейзаж 2. Высококоррелированные изображения класса А с блоками  $16 \times 16$  фото и Собор имеют в 3–4 раза больший коэффициент сжатия для заданного параметра  $QP$ , чем НК изображение того же класса пейзаж 1, а ВК изображение класса С фото имеет в 3–7 раз больший коэффициент сжатия для заданного параметра  $QP$ , чем НК изображение того же класса пейзаж 2.

На рис. 3 представлено изображение Собора с фрагментом часов, которое согласно табл. 6 представляет наибольшую разность по характеристике PSNR, равную 0,065 дБ для ЦКП с блоками  $8 \times 8$  при  $QP = 37$ .

Как видим из рис. 3, в, з, предложенное ЦКП порядка 8 обеспечивает такое же визуальное качество, как и преобразование из стандарта H.265.

#### ЗАКЛЮЧЕНИЕ

Предложены однонормовые ЦКП порядков 8, 16 и разработаны их быстрые алгоритмы низкой вычислительной сложности, которая в 3–5 раз меньше, чем в известных, и в 10 раз меньше, чем в стандарте H.265. Они обеспечивают такое же визуальное качество и качество по характеристикам PSNR, СКО как преобразования в стандарте H.265.

Таким образом, разработанные преобразования могут быть предложены для улучшения нового стандарта H.265 с целью увеличения быстродействия и уменьшения вычислительных и энергетических затрат.

#### СПИСОК ЛИТЕРАТУРЫ

1. ITU-T Rec. H.264/ISO/IEC 14496-10: 2009. Information technology — Coding of audio-visual objects, Part 10: Advanced Video Coding, 2009.
2. SMPTE Standard 421 M-2006: VC-1 Compressed Video Bitstream Format and Decoding Process, 2006.
3. PRC National Standard (AVS Working Group) GB/T 20090.2-2006. Information Technology — Advanced Coding of Audio and Video, Part 2: Video, Chinese AVS Standard, 2006.
4. Cham W.K., Fong C.K., Liu Y., Cheng C.K.M. An investigation of order-16 transform in AVS-M2606 ABT // AVS-M2657, Dec. 2009.
5. High efficiency video coding (HEVC) text specification draft 6 / B. Bross, W.-J. Han, G.S. Sullivan, J.-R. Ohm, T. Wiegand (Eds.) / Doc. JCTVC-H1003, San José, CA, USA, Febr., 2012.
6. Fuldseth A., Bjøntegaard G., Budagavi M., Sze V. CE10: Core transform design for HEVC // Doc. JCTVC-G495, Geneva, CH, Nov. 2011.
7. Ma S., Kuo C.-C. High-definition video coding with supermacroblocks // Proc. SPIE Vis. Commun. Image Process. — 2007. — **6508**. — P. 650816-1–650816-12.
8. Fong C.K., Cham W.K. Simple order-16 integer transform for video coding // Proc. IEEE Int. Conf. on Image Processing, Sept. 26–29, Hong Kong, 2010. — P. 161–164.
9. Гнатів Л.О. Метод побудови простих цілочисельних косинусних ступінчастих перетворень порядку 16 для високоефективного відеокодування // Праці міжнар. молодіж. мат. шк. «Питання оптимізації обчислень (ПОО-2011)», Україна, Крим, смт. Кацивелі, 22–29 вересня 2011. — С. 37–38.
10. Гнатів Л.О., Луц В.К. Просте цілочисельне косинусне ступінчасте перетворення порядку 16 низької складності для високоефективного відеокодування // Праці міжнар. молодіж. мат. шк. «Питання оптимізації обчислень (ПОО-2011)», Україна, Крим, смт. Кацивелі, 22–29 вересня 2011. — С. 39–40.
11. Гнатив Л.А. Целочисленные косинусные преобразования: методы построения новых быстрых преобразований порядка 8,16 и их применение // Кибернетика и системный анализ. — 2014. — **50**, № 6. — С. 104–121.

12. Joshi R., Reznik Y., Karczewicz M. Efficient large size transforms for high performance video coding // Proc. SPIE Appl. of Digital Image Process. — XXXIII. 2010. — 7798. — P. 1–7.
13. Joshi R., Reznik Y., Sole J., Karczewicz M. Efficient 16 and 32-point transforms // Doc. JCTVC-D256. — Daegu, KR, Jan. 2011.
14. Alshina E., Alshin A., Kim I.-K., Topiwala P. CE10: Full-factorized core transform proposal by Samsung/FastVDO // Doc. JCTVC-F251, Torino, Italy, July 2011.
15. Ugur K., Andersson K., Fuldseth A. et al. High performance low complexity video coding and the emerging HEVC standard // IEEE Trans. Circuits Syst. Video Technol. — 2012. — 20, N 12. — P. 1688–1697.
16. Гнатів Л.О. Метод побудови швидких цілочисельних косинусних перетворень великої розмірності для високоефективного кодування зображень і відео // Праці міжнар. конф. «Питання оптимізації обчислень (ПОО-2013)», Україна, Крим, смт. Кацивели, 30 вересня 2013. — С. 66–67.
17. Шевчук Б.М., Задірака В.К., Гнатів Л.О., Фраер С.В. Технологія багатофункціональної обробки і передачі інформації в моніторингових мережах. — К.: Наук. думка, 2010. — 378 с.
18. Ричардсон Я. Видеокодирование. H.264 и MPEG-4 — стандарты нового поколения. — М.: Техносфера, 2005. — 368 с.

*Надійшла до редакції 23.12.2015*

### **Л.О. Гнатів**

#### **ЦІЛОЧИСЕЛЬНІ КОСИНУСНІ ПЕРЕТВОРЕННЯ ДЛЯ ВИСОКОЕФЕКТИВНОГО КОДУВАННЯ ЗОБРАЖЕНЬ І ВІДЕО**

**Анотація.** Розглянуто матричні методи побудови однонормових цілочисельних косинусних перетворень порядків 8, 16. Запропоновано однонормові цілочисельні перетворення порядків 8, 16 та розроблено їхні швидкі алгоритми низької обчислювальної складності, яка менша в 3–5 разів, ніж у відомих алгоритмів, та в 10 разів менша, ніж у стандарті H.265.

**Ключові слова:** дискретне косинусне перетворення, цілочисельне косинусне перетворення, факторизація, швидке перетворення, масштабоване перетворення, ефективність кодування, коефіцієнт стиснення, обчислювальна складність, відеокодування, H.264, H.265, HEVC, AVS.

### **L.O. Hnativ**

#### **INTEGER COSINE TRANSFORMS FOR HIGH-EFFICIENCY IMAGE AND VIDEO CODING**

**Abstract.** Matrix methods of constructing one-norm integer cosine transforms of order-8,16 are considered. The one-norm order-8 and 16 integer transforms are proposed and their fast algorithms of low computational complexity are developed whose computational complexity is 3 to 5 time less than that in the well-known algorithms and is 10 time less than one in standard H.265.

**Keywords:** discrete cosine transform, integer cosine transform, factorization, fast transform, scaled transform, coding gain, compression ratio, computational complexity, video coding, H.264, H.265, HEVC, AVS.

#### **Гнатів Лев Алексеевич,**

кандидат техн. наук, старший научный сотрудник Института кибернетики им. В.М. Глушкова НАН Украины, Киев, e-mail: levhnativ@gmail.com.